

Tela de Alfinetes Virtual

Rui Varela¹ e J. M. S. Dias^{2,3}

¹Av. General Roçadas, 173 4º Esq., 1170-160 Lisboa, Portugal

²MLDC, Microsoft Language Development Center, Lisboa, Av. Prof. Doutor Aníbal Cavaco Silva, Edifício Qualidade C1, C2, TagusPark, 2744-010 PORTO SALVO, Portugal, <http://www.microsoft.com>

³ADETTI/ISCTE, Edifício ISCTE, Av. das Forças Armadas, 1600-082 Lisboa, Portugal, <http://www.adetti.pt>

Sumário

Este artigo descreve um sistema de realidade virtual 3D não imersiva, inspirada na tela de alfinetes tradicional de Alexandre Alexeieff. O sistema disponibiliza primitivas que permitem construir figuras geométricas controlando a posição de cada “alfinete” numa tela virtual e representar ainda, imagens reais em níveis de cinzento, transpondo o valor da luminância associado a cada pixel, para a posição do correspondente “alfinete”. É possível criar uma animação em tempo real, com base num conjunto de imagens chave, utilizando um modelo de interpolação linear ou elástico. A aplicação foi construída pensando na sua extensibilidade, sendo possível adicionar novas funcionalidades/primitivas/animações. Para interagir com a aplicação, o utilizador pode usar uma consola semelhante à encontrada nos jogos do tipo FPS (“First Person Shooter”). A plataforma usada para desenvolver a tela de alfinetes digital foi o MX Toolkit, um ambiente C++ desenvolvido no nosso laboratório, orientado para a construção de aplicações em realidade virtual, aumentada e mista. Este artigo descreve a arquitectura do sistema, apresenta as funcionalidades disponibilizadas pela aplicação e conclui apresentando resultados de um estudo de usabilidade para avaliar o grau de satisfação da técnica.

1. Introdução

A tela de alfinetes é um artefacto que tem fascinado animadores e o público em geral, quer pelas animações proporcionadas por Alexandre Alexeieff e sua esposa Claire Parker (*National Film Board of Canada*) [NFB], inventores da técnica, quer pelos mais recentes brinquedos para crianças que honram a sua invenção.

A animação “*The Nose*”, de Alexeieff e Parker [Wiki], foi desenvolvida com uma tela de 240.000 alfinetes, sendo cada alfinete cuidadosamente reposicionado em altura para cada nova imagem, com uma ferramenta especialmente criada para o efeito. Ao lado da tela estava um foco luminoso cuja luz, ao incidir nos alfinetes de forma rasante, definia uma sombra. A variação da altura dos alfinetes correspondia assim, a uma variação de um nível de cinzento entre o preto e o branco, correspondente à sua sombra projectada.

Actualmente, podemos encontrar alguns autores cujas animações tentam recriar o efeito inventado por Alexeieff e sua esposa. O objectivo da aplicação aqui apresentada não é apenas criar uma animação numa tela de alfinetes digital, mas também proporcionar essa animação em tempo real. Pretende-se assim um protótipo capaz de mostrar o efeito realizado em tempo real que possa, em futuras versões, vir a suportar a entrada de dados através de uma câmara de vídeo.

O artigo está organizado da seguinte forma. Na secção 2 damos a conhecer os trabalhos passados relacionados de alguma forma com tela de alfinetes virtual. Na secção 3 explicamos o âmbito do projecto e quais os seus requisitos. Passamos então para a secção 4 onde explicamos a tela de alfinete virtual e como está estruturada através de um grafo

de cena. Na secção 5 demonstramos a arquitectura funcional da tela, aqui explicamos o conceito de formas desenháveis e como é aplicado a um modo de desenho permitindo criar animações. Na secção 6 explicamos como conseguimos melhorar a performance da tela usando níveis de pormenor e optimização da organização espacial. Na secção 7 explicamos os modelos matemáticos usados para implementar as animações na tela. A estrutura dos ficheiros de animações usados pela aplicação é explicada na secção 8. A avaliação da usabilidade da aplicação é apurada na secção 9 e finalmente, na secção 10 apresentamos as conclusões e alguns passos futuros.

2. Trabalho Relacionado

Desde que a técnica de animação por tela de alfinetes foi introduzida por Alexeieff e Parker, podemos identificar essencialmente o trabalho de Pedro Faria Lopes [Lopes] nesta área, como um marco a assinalar. Lopes simulou, fielmente, a maneira de animar usada por Alexeieff e Parker, usando o mesmo princípio das sombras, mas desta vez criadas de forma digital. Lopes desenvolveu um sistema de animação por computador denominado “Tela de Alfinetes Digital” [Lopes92], que disponibilizava um conjunto de ferramentas que permitiam manipular facilmente os pinos da sua tela de alfinetes. No sistema de Lopes, uma imagem é inicialmente sintetizada usando as ferramentas que permitem manipular alfinetes ou conjuntos de alfinetes, um exemplo é o típico rolo, que permitia atrair ou repelir um conjunto de alfinetes. Após a primeira imagem ter sido gerada, o processo de animação passa então por fazer sucessivos ajustes à tela. Para a síntese de imagem, Pedro Faria Lopes usou inicialmente um algoritmo bastante simples: percorre-se todos os pinos da tela e para cada um, calcula-se a direcção e comprimento da sombra com base na posição da fonte de luz, então projecta-se a sombra a

partir da posição do pino. Lopes passou então para um algoritmo mais complexo que evitava o *aliasing*, produzindo imagens com melhor qualidade. Esta técnica não tinha como objectivo produzir animações em tempo real, e a carga computacional necessária para fazer face a esse desafio também não o permitia na altura (início da década de 90). Lopes introduz também a noção de tempo no seu sistema, usando interpolação de estados de tela (altura dos pinos). Assim, dado um conjunto de estados chave da tela, o mecanismo de interpolação produzia os estados intermédios das animações.

Ainda como referência e como influência adicional deste projecto, temos o videoclip “Only” do grupo musical Nine Inch Nails [NIN]. Neste vídeo, um “Pin Art” (nome da tela de alfinetes vulgarmente vendida no mercado) é animada tendo como base os movimentos do vocalista do referido grupo.



Figura 1: Imagem retirada de “Art Toy” do video *Only* de *Nine Inch Nails*

Neste trabalho, a síntese de imagem, bastante realista, não é realizada em tempo real, tendo a animação da tela sido levada a cargo por uma empresa de renome na animação por computador: “digitaldomain” [DD].

3. Requisitos da Tela de Alfinetes Virtual

O Tela de Alfinetes Virtual surge no âmbito de trabalho académico, no contexto da disciplina de Programação 3D, integrada no plano curricular do 5º ano da licenciatura de IGE (Informática e Gestão de Empresas), leccionada no ISCTE (Instituto Superior de Ciências do Trabalho e da Empresa), no ano lectivo 2006/2007. O sistema desenvolvido, tinha de obedecer a um conjunto de requisitos definidos nesse contexto:

- Estruturação espacial do grafo de cena e remoção de objectos não visíveis;
- Técnicas de aceleração gráfica 3D de forma a proporcionar animação e visualização em tempo real;
- Níveis de pormenor (“Level of Detail”);
- Simulação de Física de Newton ao nível da partícula.

4. A Abstracção Tela de Alfinetes

Os alfinetes presentes nas telas de Alexeieff e Parker são transpostos para o mundo 3D, como a repetição de um dado modelo no mundo virtual. De facto, o que se representa na aplicação é uma matriz bidimensional de alfinetes abstractos, sendo o alfinete concreto, um modelo 3D externo carregado durante a execução.

Numa estrutura de grafo de cena, cada elemento geométrico e topológico incluído no mundo, é posicionado, escalado e orientado através da agregação desse elemento a um nó de transformação geométrica. Assim, cada alfinete corresponde ao modelo 3D base (que comporta a geometria e topologia do alfinete), agregado a um nó de transformação. Por sua vez, estes nós de transformação estão associados, de uma forma hierárquica a outros nós e assim sucessivamente. A estruturação e organização correcta dos nós na tela de alfinetes provoca um aumento do número de imagens por segundo calculadas pelo sistema, o que é essencial para atingirmos uma animação fluida, ou dita de tempo real (com um tempo entre imagens geradas inferior a 20 ms). Abordaremos, mais à frente, as técnicas de aceleração usadas neste sistema.

Tendo a matriz de alfinetes sido criada, o esboço de formas na tela é atingido movendo os pinos no seu grau de liberdade único (vertical): de facto os pinos só se movem na dimensão vertical no referencial próprio da tela, estando fixos nas outras duas.

De uma maneira simples podemos comparar a matriz de alfinetes à memória de imagem (*framebuffer*) que encontramos nos sistemas gráficos com conversão por varrimento. Podemos assim aplicar os algoritmos de criação de primitivas gráficas 2D, desenvolvidos nos tempos pioneiros da Computação Gráfica. Neste contexto, o nosso sistema disponibiliza duas primitivas 2D básicas: o algoritmo de desenho de linhas e o de círculos, ambos de *Bresenham* [HILL99] (Figura 1.).

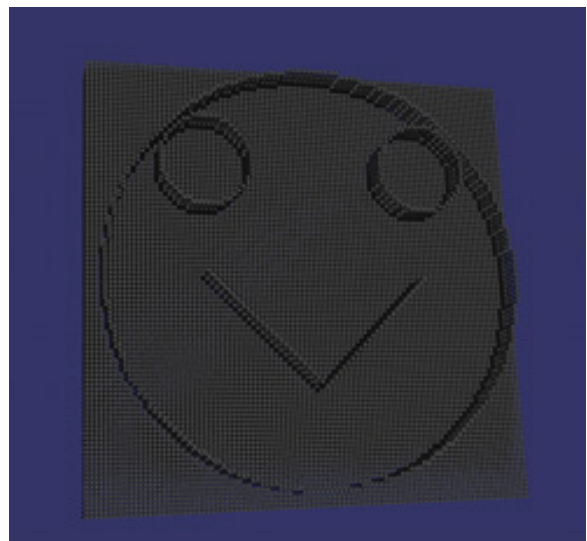


Figura 2: Um desenho geométrico simples (smiley) criado na Tela de Alfinetes Virtual com as primitivas 2D círculo e linha.

5. Arquitectura Funcional do Sistema

A plataforma usada no desenvolvimento do sistema foi a MX Toolkit [Dias03]. Esta plataforma apresenta-se bastante robusta e flexível para a criação de aplicações na área de realidade virtual e aumentada, incorporando, entre outros módulos, aquele que é mais relevante para o caso do presente artigo, o *openscenegraph*, um grafo de cena 3D com um SDK C++ de alto desempenho [OSG].

5.1 Formas Desenháveis

Usando os princípios de *Programação Orientada por Objectos*, definiu-se a estruturação das formas abstractas que provocam alterações na posição dos pinos da tela. Estas formas tomam o nome de *Drawables* (Figura 3). Na sua base está a classe abstracta *Drawable* e dela derivam as classes *Line*, *Circle* e *LuminanceImage*. Estas são assim as primitivas disponibilizadas pela aplicação. A incorporação de novas primitivas torna-se possível porque corresponde a uma nova extensão da classe *Drawable* ou alguma que dela descenda. A primitiva *LuminanceImage* carrega uma imagem de um ficheiro e calcula o valor da luminância associado a cada *pixel* (Figura 4). Esse valor é, então, traduzido proporcionalmente para a posição vertical do respectivo alfinete (Figura 5).

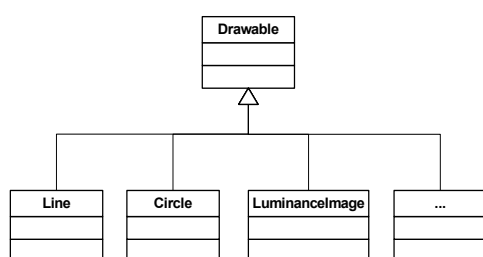


Figura 3: Diagrama de classes (UML) de um *Drawable*.

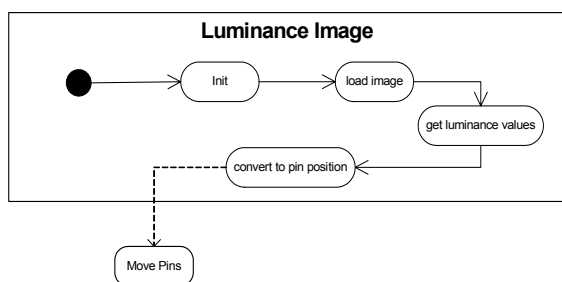


Figura 4: Sequência de carregamento de uma imagem.

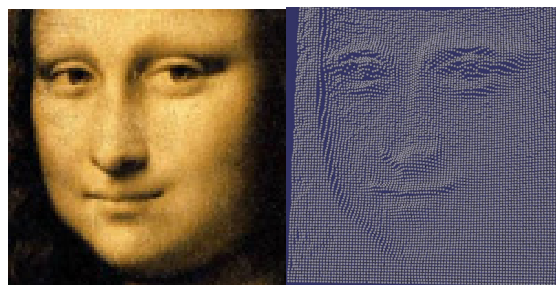


Figura 5: Tela Virtual (à direita) gerada usando os valores da luminância da imagem da esquerda.

5.2 Modos de Desenho

Na secção anterior foram enunciados os objectos que são responsáveis por provocar alterações nas posições verticais dos alfinetes. No entanto, esses objectos não interagem directamente com a tela de alfinetes. Entre esses objectos e a tela, encontramos o conceito de “maneira de desenhar na tela” que define, efectivamente, o modo como um pino se move, ou seja, como passa da posição vertical anterior para a posição seguinte.

Esta abordagem permite, de forma fácil, incorporar novos modos de animação em tempo real, aplicados à tela virtual. O sistema disponibiliza então 4 modos de desenhar (Figura 6.):

- Modo Absoluto, onde cada alfinete actualiza a sua nova posição de forma absoluta, proporcionalmente à luminância do pixel da imagem de entrada correspondente.
- Modo Relativo, onde cada alfinete actualiza a sua nova posição X_t , “relativamente” à posição anterior X_{t-1} , dado um acréscimo α , $X_t = X_{t-1} + \alpha$
- Modo em Animação Linear, onde o deslocamento da posição chave anterior X_{t-1} , para a posição chave seguinte X_t , demora um tempo t . As posições intermédias são definidas pela interpolação linear entre as duas posições chave.
- Modo em Animação Elástica Linear, onde a transição entre duas posições é ditada pela simulação de uma mola elástica de Hooke (linear) amortecida [MPL].

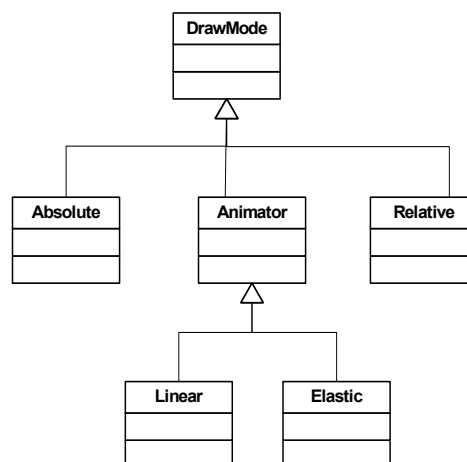


Figura 6: Diagrama de classes (UML) do *DrawMode*

5.3 Animação na Tela de Alfinetes Virtual

No nosso sistema, a animação em tempo real consegue-se com a execução de primitivas em instantes temporais pre-definidos (Figura 7).

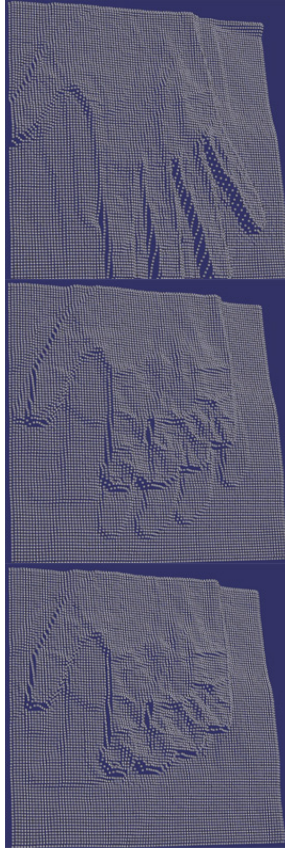


Figura 7: Imagens da *Animação de uma mão usando o modo linear que interpola duas imagens chave.*

A aplicação disponibiliza apenas um tipo de animação, baseada na primitiva *LuminanceImage* (Figura 8). No entanto é facilmente extensível para outras primitivas/listas de primitivas de animação

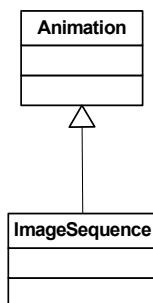


Figura 8: *Diagrama de classes (UML) de Animation.*

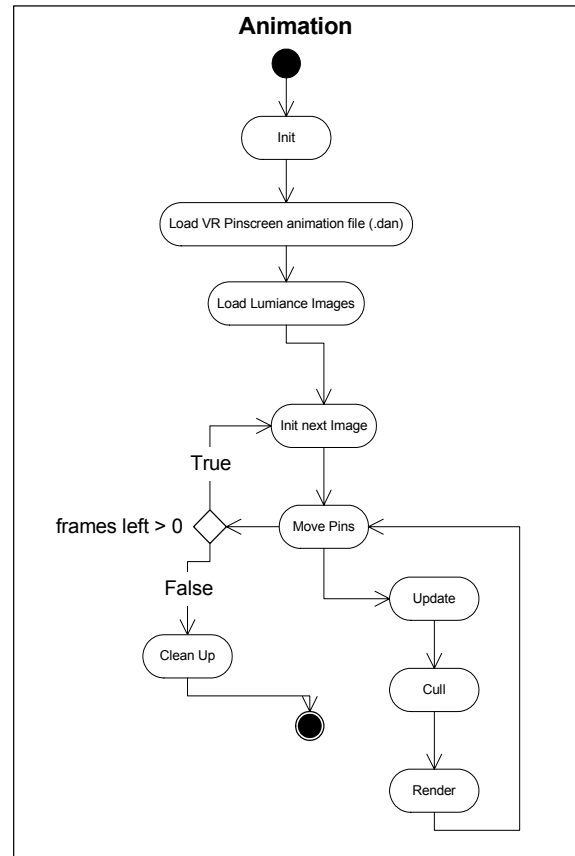


Figura 9: *Sequência de animação*

5.4 Posicionamento dos Alfinetes

Quando uma imagem (*LuminanceImage*) é carregada, é calculado o valor da luminância de cada *pixel*. Este valor é então, convertido para uma posição vertical de alfinete, usando uma proporção simples entre a escala da luminância e o movimento máximo possível de um alfinete. Este movimento máximo corresponde a 2 vezes o seu tamanho. A aplicação permite também, que o utilizador defina explicitamente um valor para esta variável.

6. Técnicas de Aceleração Gráfica 3D

6.1 Organização do Grafo de Cena

O *openscenegraph* é um grafo de cena 3D genérico que disponibiliza ferramentas que ajudam a aceleração da aplicação gráfica. Dentro destas, podemos considerar como a mais importante, a técnica bem conhecida de “*view frustum culling*” que permite remover, de forma eficiente, grande parte da geometria da cena que se encontra fora da pirâmide de visualização. No caso do *openscenegraph*, este algoritmo de simplificação exige que seja criada uma hierarquia de esferas envolventes dos nós do grafo. Explicar esta técnica sai fora do âmbito deste artigo, remetendo-se o leitor para a excelente descrição em [Moller02]. No entanto, esta técnica funciona de forma ineficiente, se o grafo de cena

que lhe é fornecido estiver, por natureza, mal gerado organizado e mal balanceado. De seguida apresenta-se uma situação que ilustra este problema.

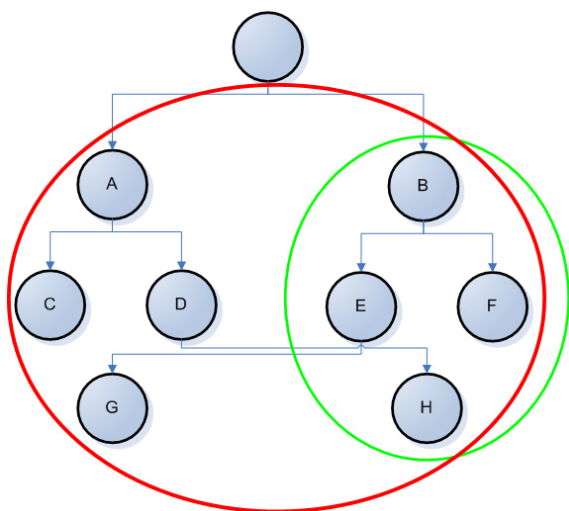


Figura 10: Grafo de cena não ótimo.

Assumindo cada círculo como cada nó da cena e, a posição de cada círculo na imagem como a posição real do nó, podemos identificar os nós G e H que, para efeitos de “*frustum culling*” diminuem a eficiência da árvore. A *esfera envolvente* verde corresponde à *esfera envolvente* ótima para a árvore B. No entanto, como o nó G está logicamente associado ao nó E e a sua posição está mais próxima dos nós E/D, a *esfera envolvente* de B passa a ser a esfera envolvente vermelha. O mesmo acontece para A e seus descendentes. Neste caso as *esferas envolventes* de A e B são iguais, e ambas são passadas à fase de síntese de imagem, mesmo que uma das árvores esteja fora da pirâmide de visualização. A eficiência de *culling* desta árvore podia ser melhorada associando G a D, e H a E. Neste caso, para a árvore B, a esfera envolvente passava a ser a verde ao invés da vermelha, e na fase de *culling* a árvore A seria podada, eliminando-a do processo de síntese de imagem.

De forma a otimizar a disposição da matriz de alfinetes foi idealizado um algoritmo que organiza a matriz, criando uma hierarquia de nós associada. A tela tem duas dimensões que não são alteradas durante as animações, respeitando a colocação dos alfinetes. A tela tem ainda uma terceira dimensão para o deslocamento dos pinos. Para a organização espacial, interessa criar uma estrutura eficiente para a colocação dos pinos, o que torna a estrutura a operar, uma estrutura 2D. O algoritmo de organização espacial tem como parâmetro o número de nós por dimensão. Significa que se o valor for 2, cada nó da árvore a ser construída, vai ter $2 * 2$ nós descendentes.

O algoritmo, dado uma matriz original de “alfinetes”, cria uma outra matriz em que cada nó é pai de n elementos da matriz original, sendo o valor do n , ditado pelo parâmetro: número de nós por dimensão. Este procedimento é então executado de novo mas agora na matriz acabada de criar, e

assim sucessivamente até se criar uma tabela com apenas um nó, que se torna a raiz da estrutura. O parâmetro n define o tamanho do bloco a operar em cada nível da estrutura. A 1D, o algoritmo cria uma árvore do tipo da Figura 11 (assumindo 2 como número de nós por dimensão).

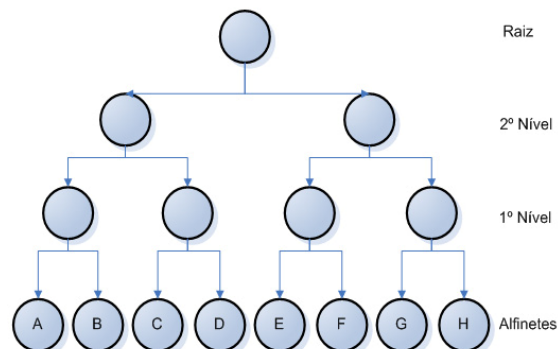


Figura 11: Árvore criada a 1D

No exemplo da Figura 11, as folhas são os círculos marcados com letras e representam cada alfinete, o algoritmo começa por pegar nos 8 alfinetes e na primeira iteração agrupa-os, pela sua posição, dois a dois, gerando o 1º nível da estrutura, este nível têm então apenas 4 nós. O algoritmo prossegue de forma idêntica para gerar o segundo nível, mas desta vez usa os nós do 1º nível para operar. O algoritmo prossegue de igual forma até o número de nós a operar ser 1, neste caso para e este último nó torna-se a raiz da estrutura. Para a síntese de imagem a raiz da estrutura é passada ao motor gráfico do *openscenegraph* que usa as *esferas envolventes* de cada nó para saber se ele está visível ou não. Assim se, a título de exemplo, os alfinetes E, F, G e H estiverem fora da pirâmide de visualização, torna-se necessário apenas 1 único teste no 2º nível, para conseguir descartar a árvore correspondente.

6.2 Nível de Pormenor (Level Of Detail)

A técnica de nível de pormenor é usada para aceleração gráfica 3D. Ela funciona por disponibilização de várias cópias do mesmo objecto, em que cada cópia difere da outra no sentido em que a complexidade ao nível da geometria diminui. O objectivo é substituir um objecto bastante complexo por uma cópia do mesmo, mas mais simples, quando estamos a uma distância suficiente para que não se consigam notar diferenças apreciáveis entre os dois.

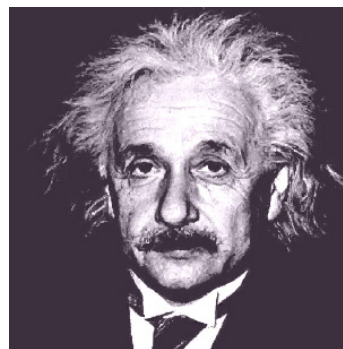


Figura 12: Imagem Original.

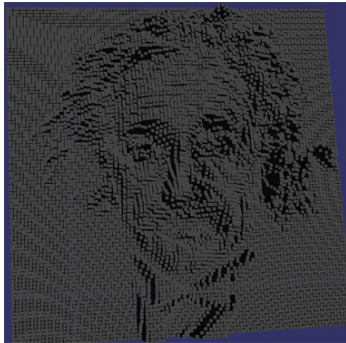


Figura 13: Imagem na Tela de Alfinetes Virtual com todo o pormenor.

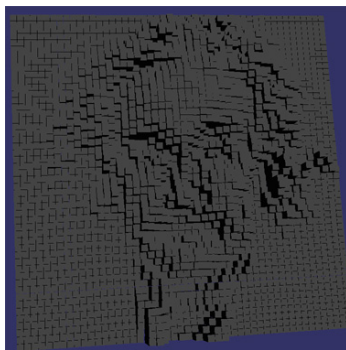


Figura 14: Imagem na Tela de Alfinetes Virtual com o 1º nível de pormenor.

A tela de alfinetes virtual suporta nível de pormenor. No entanto a técnica funciona de uma maneira diferente da usual. Neste caso um objecto não tem diversas cópias. O que acontece é que para um bloco de, por exemplo 4 alfinetes, cria-se um nó LOD (*Level Of Detail*) que substitui os mesmos 4 alfinetes. O nó LOD é um alfinete escalado em duas dimensões (transversal e longitudinal) da tela.

A aplicação permite que se defina o número de “níveis de pormenor”, bem como a distância entre cada nível. A construção de nós LOD é hierárquica e pode ser activada ou desactivada na aplicação. O tamanho de cada bloco LOD (nº de alfinetes por bloco), é ditado pelo número de nós por dimensão, e o número de níveis da hierarquia é ditado pelo número de níveis de pormenor.

A técnica de LOD permite aumentar bastante o número de imagens por segundo (*fps*), porque reduz significativamente a geometria desenhada. Imaginando 100x100 alfinetes, com blocos de 4 alfinetes e somente um nível de pormenor, é possível ter uma tela a ser simulada como se fosse uma tela de 50x50 alfinetes, sentindo-se apenas o “peso” dos 100x100 na transição entre nível.

7. Modelos de Animação

7.1 Movimento Linear

Como já foi referido, o sistema disponibiliza um modelo de animação baseado na interpolação linear entre duas posições chave. A interpolação linear, dada uma origem e um destino, cria as posições intermédias entre os dois. Cada posição é gerada face um parâmetro t , que é normalmente dependente de uma variável tempo e que varia entre 0 e 1.

Dados O (origem) e D (destino), calcula-se o vector V , diferença entre os dois pontos:

$$V = D - O$$

Define-se, então, a função de interpolação linear da seguinte forma:

$$P(t) = O + V.t$$

Com $t = 0$,

$$P(0) = O$$

Com $t = 1$,

$$P(1) = D$$

Com t a tomar um valor entre 0 e 1, surge uma posição entre O e D .

7.2 Movimento Elástico

Outro modelo de animação, baseado em simulação Física, é o conhecido modelo “mola - massa”, que se define por uma mola linear com atrito.

O modelo original de molas de Hooke é, vectorialmente:

$$F = -k.X$$

Este modelo diz que a força da mola é proporcional ao seu deslocamento da posição de equilíbrio:

- X é o vector cuja norma é a distância entre os dois pontos que definem a mola, menos a sua distância de equilíbrio.
- k é a constante elástica da mola que define a rigidez da mesma.

Podemos adicionar a este modelo linear um modelo de atrito linear simplificado, que impede que a mola balance eternamente, obtendo o seguinte modelo vectorial:

$$F = -k.X - b.V$$

- b é o coeficiente de atrito.
- V é a velocidade relativa entre os dois pontos da mola.

Soluções analíticas existem para casos particulares de equações diferenciais ordinárias da forma anterior. No entanto uma solução numérica é talvez mais simples de desenvolver, utilizando o método de integração de Euler ou de Runge-Kutta de 4ª ordem [Press92].

8. Ficheiro de Animação

A animação da tela é definida num ficheiro de texto com três secções. A primeira, tem informação relativa ao tipo de animação e ao directório base das imagens. A segunda secção, inclui a listagem de todas as imagens chave presentes na animação. A terceira e última secção, define os instantes temporais chave de animação: mapeia um instante temporal chave a um índice da lista de imagens.

```
swing
Data\Images\hand\
4
100x100_hand_00.jpg
100x100_hand_01.jpg
100x100_hand_02.jpg
100x100_hand_03.jpg
4
1.5 0
3 1
4.5 2
6 3
```

Figura 15: Ficheiro de animação

9. Avaliação da Usabilidade do Sistema

9.1 Metodologia

Para verificar que o Tela de Alfinetes Virtual é realmente uma aplicação capaz de proporcionar uma experiência visualmente agradável e apelativa, conduzimos um teste de avaliação da usabilidade do sistema, para obter os níveis de satisfação dos sujeitos do teste.

O teste foi realizado num computador portátil Pentium M com 2 GByte de memória RAM e um processador gráfico integrado ATI Mobility Radeon X700 com 64MiB de memória.

Os sujeitos do teste totalizaram 10 estudantes do ISCTE não pagos para o efeito, com idades entre os 20 e 29 anos e formações académicas distintas. Todos os elementos partilhavam uma característica em comum, que era a falta de contacto com ambientes de Realidade Virtual e a falta de conhecimentos ao nível de computação gráfica.

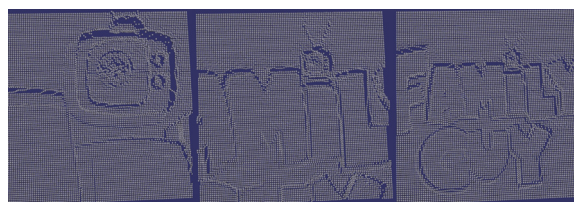


Figura 16: Clip de Abertura do Family Guy

O teste foi conduzido por um elemento que desenvolveu a aplicação e o sujeito do teste não teve interação com o sistema. O teste começou com a uma breve explicação do que é uma tela de alfinetes e como ela funciona.

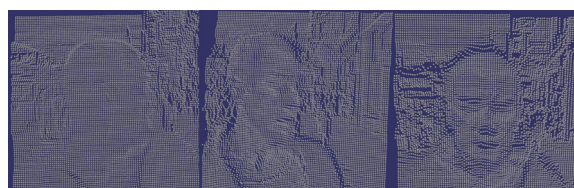


Figura 17: Clip de Trainspotting

De seguida apresentaram-se uma série de fases de demonstração, focando a visualização de imagens com esta técnica, a apresentação de animações com métodos de interpolação linear e elástica linear e a reprodução de sequências de imagens, convertidas para o modo de visualização da tela de alfinetes virtual. Estas demonstrações visaram testar a aplicação e o seu impacto na satisfação percebida pelos sujeitos:

1. Smiley apresentado na **Figura 2**.
2. Apresentação das imagens *Mona Lisa* e *Einstein*. **Figura 5 e Figura 13**.
3. Apresentação da Imagem *Einstein* com nível de pormenor. **Figura 14**.
4. Transição entre *Mona Lisa* e *Einstein* usando o modelo de animação elástico.
5. Animação de uma mão, usando o modo linear, com um conjunto de 11 imagens. Imagens dessa animação podem ser encontradas na **Figura 7**.
6. Reprodução de uma sequência de imagens retiradas da série de animação - *Family Guy* **Figura 16**.
7. Reprodução de uma sequência de imagens retiradas do filme - *Trainspotting* **Figura 17**.

Após a conclusão da apresentação, cada sujeito do grupo alvo foi convidado a responder um inquérito para avaliar o grau de satisfação e a atractividade visual relativamente ao que haviam acabado de ver. Nesse inquérito constavam as seguintes questões:

1. Na escala de [1-6], como classifica a 1ª fase, a nível de atractividade visual. [1 nada, 6 muito].

Resultado : 3,3

2. Na escala de [1-6], como classifica a 2ª fase, a nível de atractividade visual. [1 nada, 6 muito].

Resultado : 4,2

3. Na escala de [1-6], como classifica a 3ª fase, a nível de atractividade visual. [1 nada, 6 muito].

Resultado : 3,5

4. Na escala de [1-6], como classifica a 4ª fase, a nível de atractividade visual. [1 nada, 6 muito].

Resultado : 5

5. Na escala de [1-6], como classifica a 5ª fase, a nível de atractividade visual. [1 nada, 6 muito].

Resultado : 4,8

6. Na escala de [1-6], como classifica a 6ª fase, a nível de atractividade visual. [1 nada, 6 muito].

Resultado : 5,4

7. Na escala de [1-6], como classifica a 7ª fase, a nível de atractividade visual. [1 nada, 6 muito].

Resultado : 5,7

8. Na escala de [1-6], sentiu dificuldades a reconhecer as imagens projectadas. [1 muito difícil, 6 muito fácil].

Resultado : 5,6

9. Na escala de [1-6], acha que a aplicação tem potencial para ajudar a desenvolver conteúdos criativos, [1 pouco, 6 muito].

Resultado : 5,0

Os resultados foram obtidos calculando a média para cada questão. A classificação mais baixa, nas questões de atractividade visual, foi obtida no *smiley*. Esta fase é, com efeito, a menos atractiva a nível visual. A complexidade do *smiley* é também muito reduzida, daí a sua reduzida atractividade face às outras fases. A classificação mais elevada foi obtida na reprodução da sequência do *trainspotting*. Nesta sequência podemos identificar um indivíduo a correr e, mais tarde, a ir ao encontro de um veículo em movimento e como consequência do embate, a cair no chão. Esta sequência apresenta-se mais complexa e, ao nível do estímulo visual, funcionou bastante bem.

Calculando a média dos resultados obtemos um indicador que pode funcionar como apreciação global da aplicação. O valor da média é **4,72**, concluindo que a utilização da aplicação teve uma apreciação positiva.

	1	2	3	4	5	6	Resultados
1ª Questão	0	2	3	5	0	0	3,3
2ª Questão	0	0	0	8	2	0	4,2
3ª Questão	0	2	3	3	2	0	3,5
4ª Questão	0	0	0	2	6	2	5
5ª Questão	0	0	0	4	4	2	4,8
6ª Questão	0	0	0	1	4	5	5,4
7ª Questão	0	0	0	0	3	7	5,7
8ª Questão	0	0	0	0	4	6	5,6
9ª Questão	0	0	0	3	4	3	5

Tabela 1: Resultados dos inquéritos

10. Conclusões e Trabalho Futuro

Neste trabalho, apresentámos um sistema que simula em tempo real a tela de alfinetes de Alexandre Alexeieff e Claire Parker, permitindo a criação de animação através de primitivas simples e de um mecanismo de interpolação linear ou elástico. Testes de usabilidade, visando avaliar o grau de satisfação e a atractividade visual que resultam da visualização de um conjunto de 7 demonstradores, mostraram um grau de satisfação positivo. O número de alfinetes da tela condiciona a resolução das imagens sintetizadas.

Desta forma as técnicas de aceleração são muito importantes para conseguirmos produzir animação em tempo real. Uma maior capacidade computacional disponível, significa que o sistema pode lidar com um maior número de pinos, e um melhor desempenho dos modelos de animação. Assim sendo, o uso das facilidades das GPU, para o posicionamento dos alfinetes, poderá melhorar o desempenho da tela virtual. Nesse sentido, prevemos o desenvolvimento dos algoritmos de animação utilizando os *shaders* das placas gráficas, usando *vertex shaders* para o posicionamento dos vértices da geometria de cada alfinete. Neste caso, será então apenas necessário enviar à placa gráfica a posição no eixo de movimento dos alfinetes. A incorporação de um modelo de sombras na tela também será um dos passos futuros no sentido da criação de animações mais realistas, de acordo com a abordagem inicial de Alexeieff e e Parker, seguida também por Pedro Faria Lopes. Alguns testes foram feitos com a técnica de *Shadow Maps* exemplificada no *openscenegraph*, ainda não satisfatórios. Outro passo futuro será introduzir uma componente de cor em cada alfinete, permitindo animações coloridas já desenvolvidas por Lopes [Lopes92]. Neste caso, os modelos de animação poderiam funcionar não só para o reposicionamento dos alfinetes mas também para a transição da cor. Acreditamos também que a aplicação possa ter utilidade na criação de conteúdos criativos, síntese de imagem não realista, ambientes de realidade aumentada e representação de objectos virtuais em tempo real.

11. Referências

- [DD] “*Digital Domain*”, Consultado a 18 de Junho de 2007, <http://www.digitaldomain.com/>.
- [Dias03] Dias, J., M., S., Santos, P., Monteiro, L., Silvestre, R., Bastos, R., “Developing and Authoring Mixed Reality with MX Toolkit”, ART03, The Second IEEE International Augmented Reality Toolkit Workshop, Tokio, Japão, 6 Outubro 2003.
- [DSB03] Dias J. M. S., Santos P., Bastos R.: “*Developing and Authoring Mixed Reality with MX Toolkit*”. ART03, 2003.
- [Eberly] Eberly, D. H., 2004, “Game Physics”, Morgan Kaufmann.
- [GOG] “*Gaffer, Gpring Physics, Integration Basis*”, Consultado em Janeiro de 2007, <http://www.gaffer.org/game-physics/integration-basics/>.
- [HILL99] Hill, F. S., “*Computer graphics using OpenGL*”, Prentice Hall, 1999, pp. 554-561.
- [Lopes] Lopes, P.F. 1999, “*The Pinscreen in the Era of the Digital Image*”, Consultado em Janeiro de 2007, <http://www.writer2001.com/lopes.htm>.
- [Lopes92] Lopes, P.F., Gomes, M. R., “*A Computer Model For Pinscreen Simulation : A New Animation Paradigm*”. Computer Graphics Forum, Volume 11, Issue 1, 1992, pp. 31-42.
- [Moller02] Moller T. A., Haines E.: “*Real-Time Rendering*”, A.K. Peters Ltd., 2002, pp. 363-368.
- [MPL] “*MyPhysicsLab Simple Spring*”, Consultado em Janeiro de 2007, <http://www.mypysicslab.com/spring1.html>.
- [NFB] “*Techniques, Pinscreen*”, Consultado em Janeiro de 2007, <http://www.nfb.ca/animation/objanim/en/techniques/pinscreen.php>.
- [Nin] “*Visual*”, Consultado a 18 de Junho de 2007, <http://www.nin.com/visuals/>.
- [OSG] “*OpenSceneGraph*”, Consultado a 18 de Junho de 2007, <http://www.openscenegraph.org/>.
- [Press92] Press W. H., Teukolsky S. A., Vetterling W. T., Flannery B. P., “*Numerical Recipes in C*”, Cambridge, 1992, pp. 710-714.
- [Wiki] “*PinScreen animation*”, Consultado em Janeiro de 2007. http://en.wikipedia.org/wiki/Pinscreen_animation.

12. Anexo Funcionalidades Extra

12.1 Scripting

A aplicação disponibiliza um pequeno e leve sistema de *scripts*. Sucintamente um *script* é uma lista de comandos que o utilizador pode passar na consola.

12.2 Consola

A aplicação disponibiliza uma consola para interface com o utilizador. Esta disponibiliza os seguintes comandos:

- **/help**
- **/quit**
- **/list** - lista os comandos disponíveis
- **/clear** - apaga a lista de mensagens.
- **/echo <msg>**
- **/version** - mostra a versão.
- **/set <var name> <value>** - define o valor de uma variável. Sem parâmetros lista a variáveis.
- **/rebuildPinScreen** - reconstrói a tela de alfinetes.
- **/drawPin <col> <line> <pos>** - move o pino [col, col] o valor da posição.
- **/drawLine <orig col> <orig line> <dest col> <dest line> <pos>**
- **/drawCircle <center col> <center line> <radius> <pos>**
- **/loadLuminanceImage <file>**
- **/run <script>**
- **/play <anim>**
- **/stop** - para a animação.

Estão disponíveis as seguintes variáveis:

- **ps_lod** - número de níveis de detalhe.
- **ps_lod_distance** - distância entre níveis de lod.

- **ps_divisions** - número de nós por divisão por dimensão.
- **ps_pin_name** - nome do ficheiro com o modelo do alfinete.
- **ps_v_pins** - número de alfinetes na vertical.
- **ps_h_pins** - número de alfinetes na horizontal.
- **ps_v_spacing** - espaçamento entre os pinos na vertical.
- **ps_h_pins** - espaçamento entre os pinos na horizontal.
- **ps_draw_mode** - modo de desenho *<absolute, relative, linear, elastic>*
- **ps_max_movement** - movimento máximo na dimensão de movimento dos pinos *<0 = auto>*
- **ps_linear_duration** - duração de cada mudança de posição para o modo linear.
- **ps_pin_mass** - massa do alfinete para o modelo elástico.
- **ps_spring_stiffness** - rigidez da mola no modelo elástico.
- **ps_spring_damping** - atrito da mola no modelo elástico.

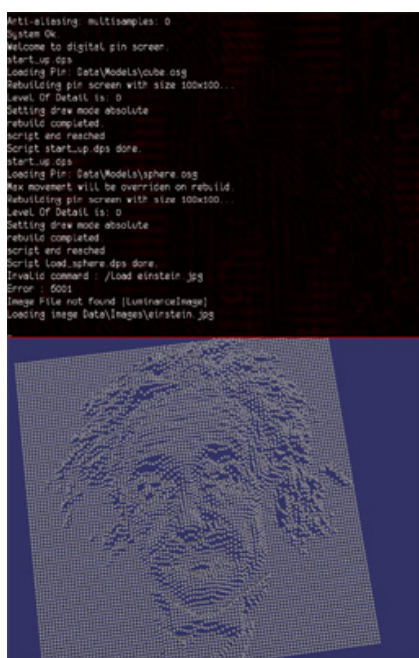


Figura 18: Consola clássica de videojogos